

京都大学防災研究所 正員 芦田和男 ○村本嘉雄 奈良井修二

1. はしがき； 河道の形態とその変動に関するこれまで数多くの研究が行なわれており、特に近年、統計解析によつて各種のスケールの河道形態および河床形態を定量的に表現する方向に主力が注がれてゐる。しかし、河道の変動特性については各種の河床形態の発生条件と平衡状態へ河道形狀に関する主に論せられており、河道の変動過程とその機構はまだ明らかになつてゐない点が多い。本研究では、河道の変動過程を詳細に検討するためには大規模な水路を用ひて、側岸が侵食される流路の変動特性に関する一連の実験を始めた。本文では、一様こう配の定常流を行なつた実験の結果から水理量の時間的変化、側岸侵食と河床変動との関係および砂礫堆と蛇曲流路の発達について検討する。

2. 実験の概要； 用ひた水路は深さ 1.5m、幅 7.5m の長方形断面水路である。砂床部分の延長は 120~130m、敷き均しくこう配 1/200 である。河床砂の粒度分布と各通過百分率  $F$  の粒径  $d_F$  に対する限界摩擦速度  $U_{fc}$  を表-1 に示す。中スケールから求めた河床砂の平均粒径は 0.87mm、標準偏差は 2.62 である。

表-1 実験砂の粒度分布と限界摩擦速度

$F(\%)$	5	10	20	30	40	50	60	70	80	90	95
$d_F(\text{mm})$	0.19	0.26	0.34	0.42	0.48	0.58	0.78	1.15	1.75	2.80	3.80
$U_{fc}(\text{cm/sec})$	岩垣式	1.47	1.55	1.62	1.68	1.72	1.78	2.07	2.52	3.40	4.73
$Egiazaro-$ $\frac{d}{d}$ $\text{式}$	3.09	2.87	2.73	2.71	2.72	2.76	2.86	3.08	3.33	3.76	4.08

実験の条件は表-2 のようであつて、砂床の中央部にこう配  $1/200$  の台形断面の流路を作り、流入角  $\theta$ 、給砂量  $Q$  の条件で通水した。ただし、Exp. I-2 は Exp. I-1 終了後、流路を整形せずに継続して行なつた実験である。また、流路の下流端は Exp. I-1, I-2 以外は砂止めによつて 15cm の段落ちになつており、その下流で流出上砂の測定を行なつた。

表-2 実験条件

Exp. No	流路断面の寸法			流量 (l/s)	通水時間 (°時間, '分)
	底面傾斜 (cm)	斜面勾配	深さ (cm)		
I-1	100	1:1	20	7.5	100°
I-2				15.0	30° 19'
II	100	1:1	20	15.0	28° 41'
III	50	1:1	10	6.0	71° 26'

これらの実験条件は Exp. I-1 以外は Ferguson, Bose, Lacey などによる河道幅と流量との関係を参考にして、それらの平均値を選んだ。また、流路の初期条件はいづれも木下、井口一郎(1961)によつて検討されてゐる砂礫堆の発生範囲にある。

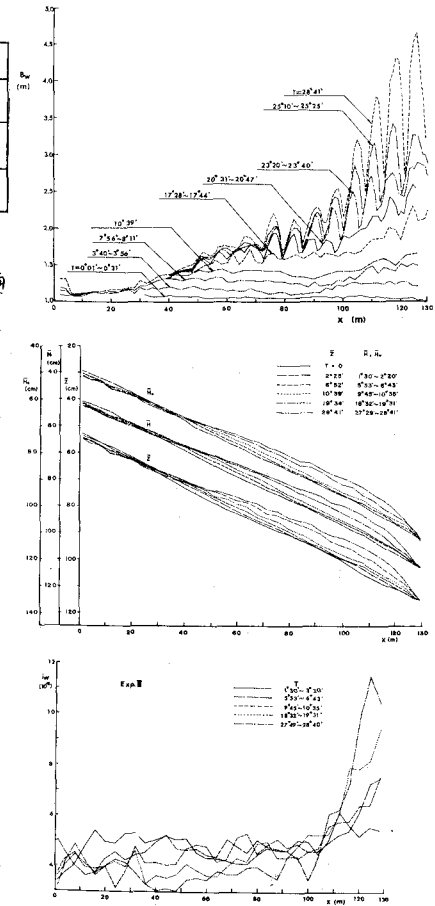


図-1 流路幅、河床高、水面こう配の変化(Exp. II)

3. 実験結果とその検討；図-1はExp. IIとIIIについて流路幅 $B_w$ 、平均河床高 $H$ 、エネルギー水頭 $H$ および水面こう配 $i_w$ の変化を示したものである。 $B_w$ は初期には流下方向に一様に増加するが、蛇曲の発生とともに、下流側で急激に拡ちかたる運動形態を呈する。こうした側岸侵食により、中流、下流では河床上昇が顕著になり、 $H$ 、 $H$ 、 $i_w$ の変化はほとんど互いの変化に支配される。 $i_w$ は $B_w$ 、 $H$ の変化に対応して上流、中流で減少し、下流で急激に増大するので次第に屈曲された形態になる。なお、Exp. I-2 も上、下流端付近を除いて Exp. II とほぼ一致する流路形状に達し、Exp. I-1 の影響は最終状態で認められなかった。

3-1 水理量の変化：流路の全長を上流、中流、下流部の三区間にわけて水理諸量の時間的変化を検討した。上流部といつては河床低下の及ぶ範囲をとり、中流部と下流部の境界は $B_w$ 、 $i_w$ が急激に変化する  $x=100m$  を便宜的に選んだ。図-2は各区間ににおける平均流速 $\bar{U}$ 、摩擦速度 $U_f$ 、Manningの粗度係数 $n$ およびFroude数 $F_r$ の時間的変化を示したものである。各水理量の変化はつきのようにならう。

- i)  $\bar{U}$ は上流部に比べて、中流、下流部で著しく減少する。流路、蛇曲度合の大小、Exp. IIの方がExp. IIIに比べて流速低下率が大きいのは、前者では顕著な鱗状砂渦の発生したことによる。
- ii)  $\bar{U}_f$ はExp. IIでややかに減少する傾向を示すがExp. IIIではほぼ一定である。各時刻において三区間の $\bar{U}_f$ の差は小さく、下流部の急激な拡幅現象は $\bar{U}_f$ からは説明できない。
- iii)  $n$ はExp. IIIの砂渦の発生時刻で急激に増大する。Exp. II、IIIともに砂渦堆の発生し、特にExp. IIの中流部での発達が顕著であるが、 $n$ に対する影響は初期で若干現われるだけである。なお、相当粗度と掃流力との関係を検討した結果、Exp. IIでは平滑河床、Exp. IIIでは砂渦砂床に近い値を示した。
- iv)  $F_r$ はExp. II、IIIともに限界流速 $F_r$ の値から減少し、それが $F_r = 0.75$ 、 $F_r = 0.55$ でほぼ一定になる。

以上のように図-1に示された流路の特徴的な変化は水理量の特性を現わすことなく、断面平均流量だけに着目して流

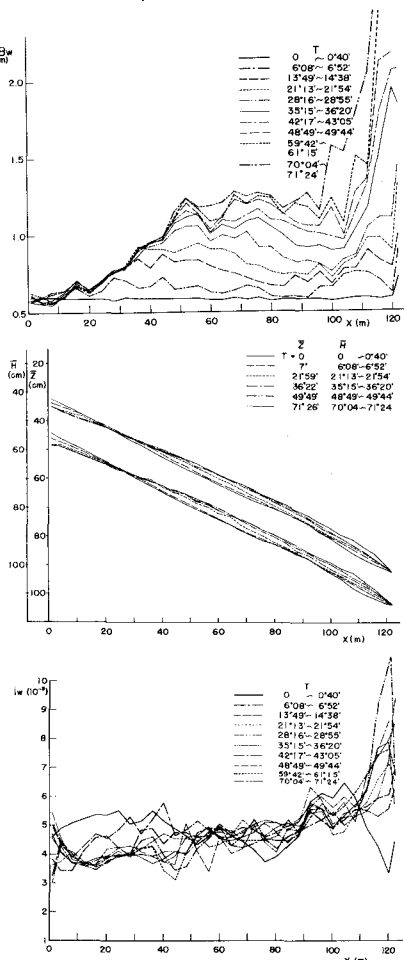


図-1 流路幅、河床高、水面こう配の変化(Exp. III)

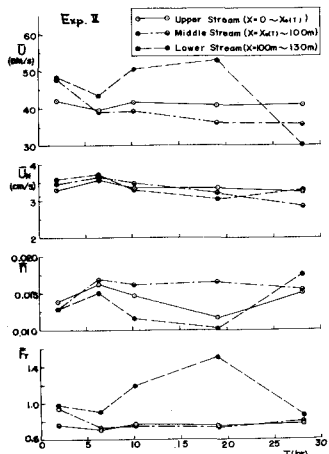


図-2 平均流速、摩擦速度、粗度係数、Froude数の変化

路の変動を予測することは難しいと考えられる。

図-3は最終時刻における流下方向方東の流路幅と平均水深および水面こう配の関係を示したものである。中流、下流部では  $\partial h / \partial B_w < 0$ ,  $\partial i_w / \partial B_w > 0$  の傾向にあるが、上流部の一部で  $\partial h / \partial B_w > 0$ ,  $\partial i_w / \partial B_w < 0$  となる。この範囲は後述するようにほぼ一様な粗粒化現象の生じている静的平衡区間である。なお、粒径および粗度係数を一定とした等流の静的平衡式ではこの関係を説明できないが、さらに断面形状および河床状態の影響について検討する必要がある。

3-2 側岸侵食と河床変動の関係： 流路の拡幅現象と河床変動との関連性を検討するために、拡幅速度  $\Delta B / \Delta T$  と河床上昇速度  $\Delta Z / \Delta T$  の変化を Exp.II について示すと図-4のようである。各時間段階において  $\Delta B / \Delta T = 0$  と  $\Delta Z / \Delta T = 0$  となる位置はほぼ一致しており、 $\Delta B / \Delta T = 0$  になると、たゞちに  $\Delta Z / \Delta T < 0$  から  $\Delta Z / \Delta T = 0$  に移行する。すなはち、側岸侵食の大きい流路では河床変動の動的平衡状態はほとんど現われず、拡幅が停止して静的平衡状態に近づいていく。特に本実験の場合、表-1の  $U_{sc}$  と図-2の  $U_s$  との比較からわかるように  $U_s$  以下の河床材料が約10%存在しており、粗粒化現象によく静的平衡に達し易い。図-5はExp.IIの最終時刻における河床砂の粒度分布を示したものである。上流部 ( $x = 4 \sim 44m$ ) では  $d = 0.5 \sim 2mm$  の範囲の砂が流出して、下流側、河床砂粗度特性が著しく異なる。中流、下流部の河床砂および流出砂 ( $x=132m$ ) の粒度分布はExp.IIでは実験砂のそれと変化しないが、Exp.IIIでは細粒化かつ一様化する傾向が認められ、砂連の距離を範囲では標準偏差差は1.6～1.8に減少した。

つぎに、各時間段階における側岸侵食量と河床変動量から各測定

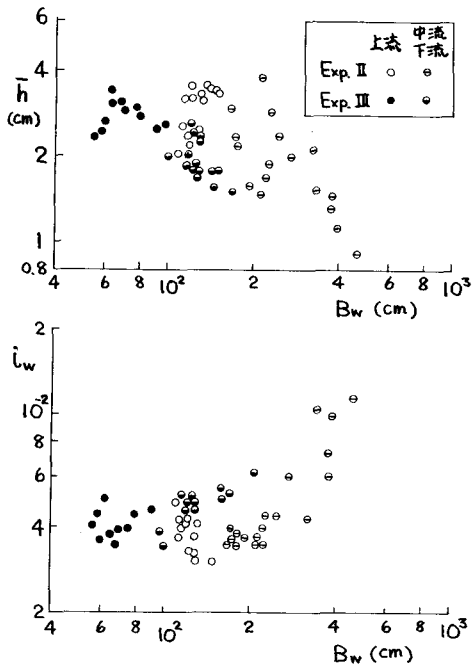


図-3 流路幅・水深・および水面こう配の関係

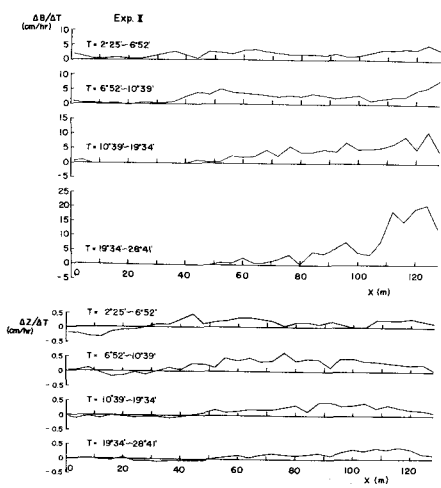


図-4 拡幅速度と河床上昇速度の変化

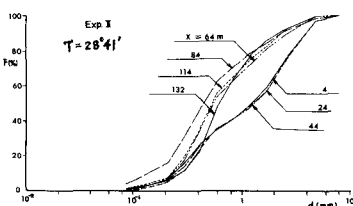


図-5 河床砂の粒度分布

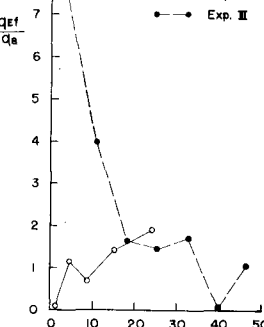


図-6  $q_{Ef}$  と  $q_B$  の比較

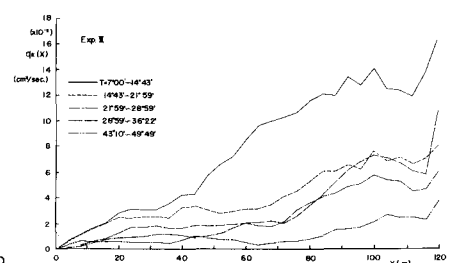


図-7  $Q(x)$  の累積分布

間の単位巾流出土砂量を求め、その流下方向累加量  $g_E(x)$  の変化を示すと図-6のようである。また、 $g_E(x)$  の下流端の値  $g_{Ef}$  と流出土砂量の実測値  $g_B$  を比較した結果を図-7に示す。 $g_E(x)$  の変化から、流路断面幅で土砂收支の平衡に達する区間は次第に下流へ拡がり、2行程、流出土砂への寄与が下流部に限らず上流域へ広がる。Exp.IIの場合はその伝播速度が大きく、最終時刻がExp.IIIと同様に  $x=80m$ 付近まで平衡領域に達した。 $g_{Ef}$  は4m毎の流路幅と河床高の測定値から求めているので、 $g_B$ との対応はよくなく、流砂量式を導入して土砂の收支を定量的ル論ずることは難しい。

**3-3 砂礫堆と蛇曲流路の発達：**本実験ではいづれの場合も中流、下流部で砂礫堆が発生し、Exp.I-1では砂礫堆の移動が停止した状態、Exp.I-2、II、IIIでは移動状態で流路の蛇曲が発達した。Exp.IIにつれて砂礫堆の波長  $L_B$  と移動速度  $V_B$  の変化を示すと図-8、図-9のようである。 $L_B$  の増大は  $B_w$  の増加にはほぼ対応するが、 $L_B/B_w = 4 \sim 8$  である。分布範囲が広がる。また、砂礫堆の高さは  $1.5 \sim 2.0cm$  から  $4.5 \sim 5cm$  に発達して一定となり、場所的変化も小さく。このように砂礫堆の形状が一定になり、移動速度が低下した状態で蛇曲流路が発生する。図-10、図-11は空疎測定の結果から砂礫堆の移動と蛇曲の発達の状況を示したものである。砂礫堆の移動速度は蛇曲ピークのそれより速く、蛇曲が断続的に進行する様子がわかる。Exp.I-1とExp.IIIでは、砂礫堆の発達はExp.IIのように明確でなく、本実験の範囲では流量条件による砂礫堆および蛇行の波長の相違は認められなかった。

**4. まとめ：**以上のように本実験の条件では河床上昇が距離者である上流部を除いて平衡状態に達しないが、た。従来示されてきた蛇行実験では河床変動との対応が明確にされないが、多くの場合はこうした状態にあると考えられる。このような非平衡の状態では流路形状と初期条件とを一義的に関係づけることは難しく、流下方向の運動特性に注目して検討する必要がある。また、冲積河道との対応を考慮する場合、河道二分配の遷移状態、流量および流入土砂量の時間的変化、側岸拘束条件の変化などを考慮する必要がある。今後、こうした諸要素について順次検討するつもりである。最後に、実験および整理に協力して頂いた塙入淑史君、田中修市君に感謝する。

1) 节田和男、村本嘉雄、奈良井修二、塙入淑史；河道の変動に関する研究(1)，京大防災研究年報第13号B

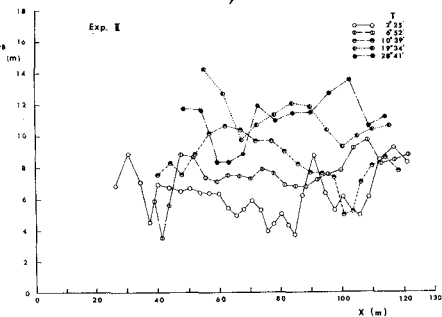


図-8 砂礫堆の波長の変化

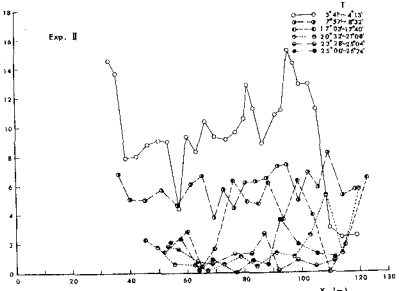


図-9 砂礫堆の移動速度の変化

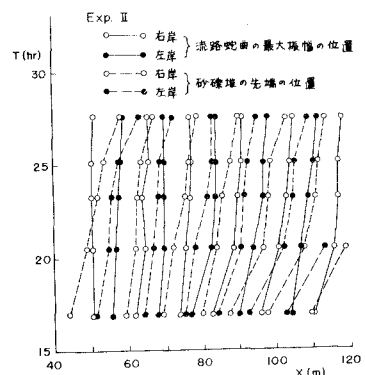


図-10 砂礫堆と流路蛇曲の移動状況

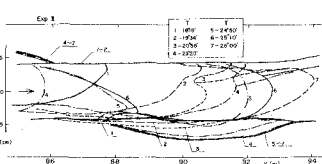


図-11 砂礫堆による蛇曲流路の発達状況